

Starkniederschlagshöhen und -spenden gemäß KOSTRA-DWD-2020

Rasterfeld 95163

(Zeile 95, Spalte 163)

Regenspende und Bemessungsniederschlagswerte in Abhängigkeit von Wiederkehrzeit T und Dauerstufe D

| Dauerstufe D | | Wiederkehrzeit T | | | | | | | | | | | | | | | | | |
|--------------|-----|------------------|------------|------|------------|------|------------|------|------------|------|------------|-------|------------|-------|------------|-------|------------|-------|------------|
| | | 1 a | | 2 a | | 3 a | | 5 a | | 10 a | | 20 a | | 30 a | | 50 a | | 100 a | |
| min | Std | mm | l / (s ha) | mm | l / (s ha) | mm | l / (s ha) | mm | l / (s ha) | mm | l / (s ha) | mm | l / (s ha) | mm | l / (s ha) | mm | l / (s ha) | mm | l / (s ha) |
| 5 | | 6,0 | 200,0 | 7,4 | 246,7 | 8,2 | 273,3 | 9,3 | 310,0 | 10,9 | 363,3 | 12,6 | 420,0 | 13,7 | 456,7 | 15,1 | 503,3 | 17,2 | 573,3 |
| 10 | | 8,0 | 133,3 | 9,8 | 163,3 | 10,9 | 181,7 | 12,4 | 206,7 | 14,6 | 243,3 | 16,8 | 280,0 | 18,3 | 305,0 | 20,2 | 336,7 | 22,9 | 381,7 |
| 15 | | 9,2 | 102,2 | 11,3 | 125,6 | 12,6 | 140,0 | 14,3 | 158,9 | 16,8 | 186,7 | 19,4 | 215,6 | 21,1 | 234,4 | 23,2 | 257,8 | 26,4 | 293,3 |
| 20 | | 10,1 | 84,2 | 12,4 | 103,3 | 13,8 | 115,0 | 15,7 | 130,8 | 18,5 | 154,2 | 21,3 | 177,5 | 23,1 | 192,5 | 25,5 | 212,5 | 29,0 | 241,7 |
| 30 | | 11,4 | 63,3 | 14,0 | 77,8 | 15,6 | 86,7 | 17,8 | 98,9 | 20,9 | 116,1 | 24,0 | 133,3 | 26,1 | 145,0 | 28,8 | 160,0 | 32,7 | 181,7 |
| 45 | | 12,8 | 47,4 | 15,7 | 58,1 | 17,6 | 65,2 | 19,9 | 73,7 | 23,4 | 86,7 | 27,0 | 100,0 | 29,3 | 108,5 | 32,3 | 119,6 | 36,7 | 135,9 |
| 60 | 1 | 13,8 | 38,3 | 17,0 | 47,2 | 19,0 | 52,8 | 21,6 | 60,0 | 25,3 | 70,3 | 29,2 | 81,1 | 31,7 | 88,1 | 35,0 | 97,2 | 39,7 | 110,3 |
| 90 | 1,5 | 15,4 | 28,5 | 18,9 | 35,0 | 21,1 | 39,1 | 24,0 | 44,4 | 28,2 | 52,2 | 32,5 | 60,2 | 35,3 | 65,4 | 38,9 | 72,0 | 44,2 | 81,9 |
| 120 | 2 | 16,6 | 23,1 | 20,4 | 28,3 | 22,8 | 31,7 | 25,9 | 36,0 | 30,3 | 42,1 | 35,0 | 48,6 | 38,0 | 52,8 | 41,9 | 58,2 | 47,6 | 66,1 |
| 180 | 3 | 18,4 | 17,0 | 22,6 | 20,9 | 25,2 | 23,3 | 28,7 | 26,6 | 33,6 | 31,1 | 38,7 | 35,8 | 42,1 | 39,0 | 46,5 | 43,1 | 52,8 | 48,9 |
| 240 | 4 | 19,7 | 13,7 | 24,3 | 16,9 | 27,1 | 18,8 | 30,8 | 21,4 | 36,1 | 25,1 | 41,6 | 28,9 | 45,2 | 31,4 | 50,0 | 34,7 | 56,7 | 39,4 |
| 360 | 6 | 21,8 | 10,1 | 26,9 | 12,5 | 30,0 | 13,9 | 34,1 | 15,8 | 40,0 | 18,5 | 46,1 | 21,3 | 50,0 | 23,1 | 55,3 | 25,6 | 62,7 | 29,0 |
| 540 | 9 | 24,1 | 7,4 | 29,7 | 9,2 | 33,1 | 10,2 | 37,7 | 11,6 | 44,2 | 13,6 | 50,9 | 15,7 | 55,3 | 17,1 | 61,1 | 18,9 | 69,4 | 21,4 |
| 720 | 12 | 25,9 | 6,0 | 31,9 | 7,4 | 35,6 | 8,2 | 40,4 | 9,4 | 47,4 | 11,0 | 54,7 | 12,7 | 59,4 | 13,8 | 65,6 | 15,2 | 74,4 | 17,2 |
| 1080 | 18 | 28,6 | 4,4 | 35,2 | 5,4 | 39,3 | 6,1 | 44,7 | 6,9 | 52,4 | 8,1 | 60,4 | 9,3 | 65,6 | 10,1 | 72,4 | 11,2 | 82,2 | 12,7 |
| 1440 | 24 | 30,7 | 3,6 | 37,8 | 4,4 | 42,2 | 4,9 | 47,9 | 5,5 | 56,2 | 6,5 | 64,8 | 7,5 | 70,4 | 8,1 | 77,7 | 9,0 | 88,2 | 10,2 |
| 2880 | 48 | 36,4 | 2,1 | 44,8 | 2,6 | 50,0 | 2,9 | 56,8 | 3,3 | 66,6 | 3,9 | 76,7 | 4,4 | 83,4 | 4,8 | 92,0 | 5,3 | 104,5 | 6,0 |
| 4320 | 72 | 40,2 | 1,6 | 49,4 | 1,9 | 55,1 | 2,1 | 62,7 | 2,4 | 73,5 | 2,8 | 84,7 | 3,3 | 92,0 | 3,5 | 101,6 | 3,9 | 115,4 | 4,5 |
| 5760 | 96 | 43,1 | 1,2 | 53,0 | 1,5 | 59,2 | 1,7 | 67,2 | 1,9 | 78,9 | 2,3 | 90,9 | 2,6 | 98,7 | 2,9 | 109,0 | 3,2 | 123,8 | 3,6 |
| 7200 | 120 | 45,5 | 1,1 | 56,0 | 1,3 | 62,5 | 1,4 | 71,0 | 1,6 | 83,3 | 1,9 | 95,9 | 2,2 | 104,2 | 2,4 | 115,1 | 2,7 | 130,7 | 3,0 |
| 8640 | 144 | 47,6 | 0,9 | 58,5 | 1,1 | 65,3 | 1,3 | 74,2 | 1,4 | 87,1 | 1,7 | 100,3 | 1,9 | 109,0 | 2,1 | 120,3 | 2,3 | 136,6 | 2,6 |
| 10080 | 168 | 49,4 | 0,8 | 60,8 | 1,0 | 67,8 | 1,1 | 77,1 | 1,3 | 90,4 | 1,5 | 104,1 | 1,7 | 113,1 | 1,9 | 124,9 | 2,1 | 141,8 | 2,3 |

Starkniederschlagshöhen und -spenden gemäß KOSTRA-DWD-2020

Rasterfeld 95163

(Zeile 95, Spalte 163)

Örtliche Unsicherheiten in Abhängigkeit von Wiederkehrzeit T und Dauerstufe D

| Dauerstufe D | | Wiederkehrzeit T | | | | | | | | |
|--------------|-----|------------------|-----|-----|-----|------|------|------|------|-------|
| | | 1 a | 2 a | 3 a | 5 a | 10 a | 20 a | 30 a | 50 a | 100 a |
| min | Std | ± % | ± % | ± % | ± % | ± % | ± % | ± % | ± % | ± % |
| 5 | | 13 | 12 | 12 | 13 | 13 | 13 | 14 | 14 | 14 |
| 10 | | 11 | 13 | 14 | 14 | 15 | 16 | 17 | 17 | 18 |
| 15 | | 12 | 14 | 15 | 16 | 18 | 19 | 19 | 20 | 20 |
| 20 | | 14 | 16 | 17 | 18 | 19 | 20 | 21 | 21 | 22 |
| 30 | | 14 | 17 | 18 | 19 | 20 | 21 | 22 | 22 | 23 |
| 45 | | 15 | 17 | 18 | 20 | 21 | 22 | 23 | 23 | 24 |
| 60 | 1 | 15 | 17 | 18 | 20 | 21 | 22 | 23 | 23 | 24 |
| 90 | 1,5 | 14 | 17 | 18 | 19 | 21 | 22 | 22 | 23 | 23 |
| 120 | 2 | 14 | 16 | 18 | 19 | 20 | 21 | 22 | 22 | 23 |
| 180 | 3 | 13 | 15 | 17 | 18 | 19 | 20 | 21 | 21 | 22 |
| 240 | 4 | 13 | 15 | 16 | 17 | 18 | 19 | 20 | 21 | 21 |
| 360 | 6 | 12 | 14 | 15 | 16 | 17 | 18 | 19 | 19 | 20 |
| 540 | 9 | 12 | 13 | 14 | 15 | 16 | 17 | 18 | 18 | 19 |
| 720 | 12 | 12 | 13 | 14 | 15 | 16 | 17 | 17 | 18 | 18 |
| 1080 | 18 | 12 | 13 | 13 | 14 | 15 | 16 | 16 | 17 | 17 |
| 1440 | 24 | 12 | 13 | 13 | 14 | 15 | 16 | 16 | 16 | 17 |
| 2880 | 48 | 14 | 14 | 14 | 14 | 15 | 15 | 16 | 16 | 16 |
| 4320 | 72 | 15 | 15 | 15 | 15 | 15 | 16 | 16 | 16 | 16 |
| 5760 | 96 | 16 | 16 | 16 | 16 | 16 | 16 | 16 | 16 | 17 |
| 7200 | 120 | 17 | 17 | 16 | 16 | 16 | 17 | 17 | 17 | 17 |
| 8640 | 144 | 18 | 17 | 17 | 17 | 17 | 17 | 17 | 17 | 17 |
| 10080 | 168 | 19 | 18 | 18 | 17 | 17 | 17 | 18 | 18 | 18 |

Parameter für abweichende T und D

Lokationsparameter ξ (Xi)

14,18526797

Skalenparameter α (Alpha)

4,54342805

Formparameter κ (Kappa)

-0,1

1. Koutsoyiannis-Parameter θ (Theta)

0,03381548

2. Koutsoyiannis-Parameter η (Eta)

0,75641522

Parameter für dauerstufenübergreifende Extremwertschätzung nach KOUTSOYIANNIS et al. 1998.

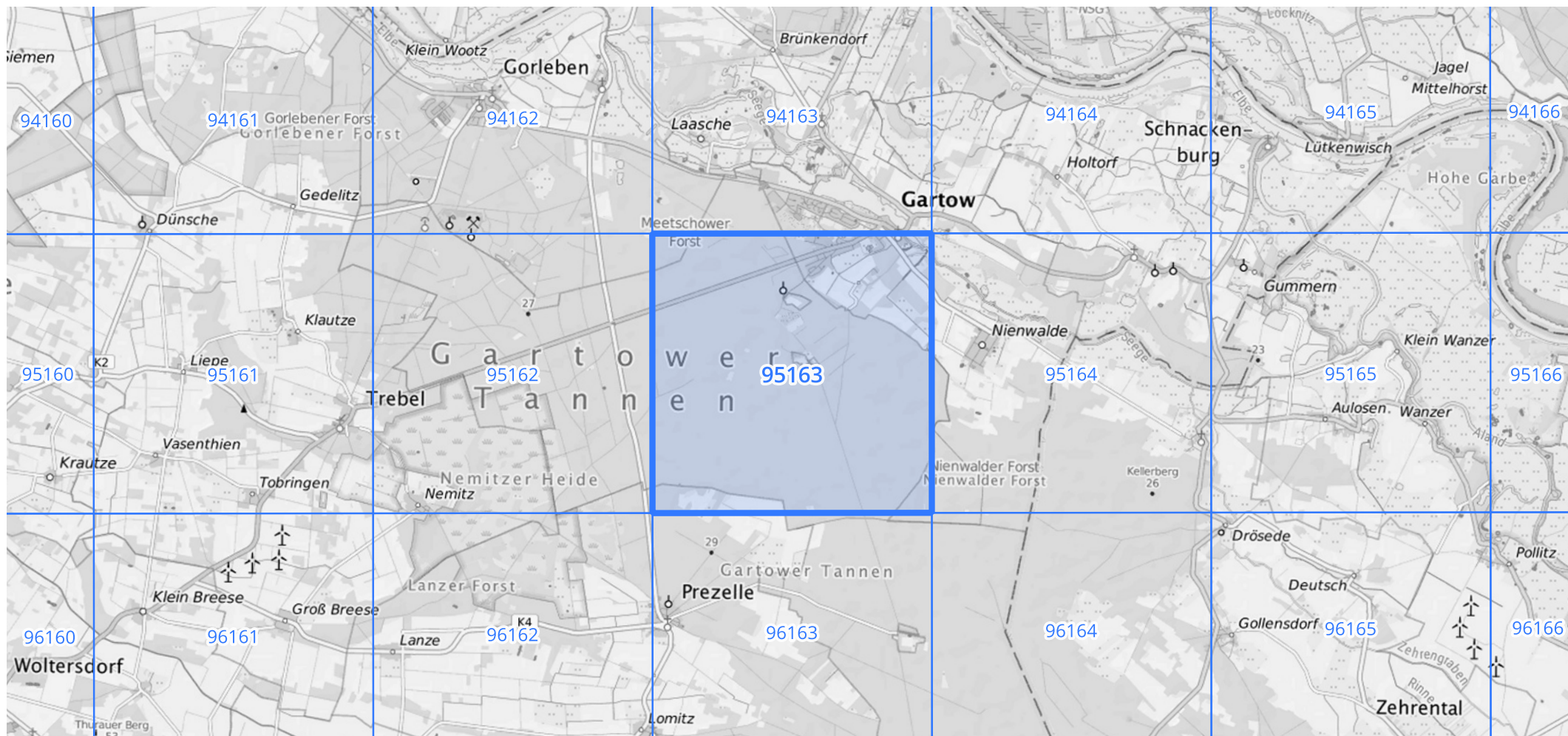
Siehe auch Anwendungshilfe zu KOSTRA-DWD-2020 des Deutschen Wetterdienstes.

Starkniederschlagshöhen und -spenden gemäß KOSTRA-DWD-2020

Rasterfeld 95163

(Zeile 95, Spalte 163)

Übersichtskarte des Rasterfeldes 95163, M 1 : 100 000



Quelle Rasterdaten: KOSTRA-DWD-2020 des Deutschen Wetterdienstes, Stand 12/2022.

Seite 3 von 3

Kartendarstellung: © Bundesamt für Kartographie und Geodäsie (2023), Datenquellen: https://sgx.geodatenzentrum.de/web_public/gdz/datenquellen/Datenquellen_TopPlusOpen.html

Für die Richtigkeit und Aktualität der Angaben wird keine Gewähr übernommen. Erstellt 01/2023.